



مطالعه تجربی و عددی اثرات تجمیع یخ بازگشتی بر روی عملکرد آبودینامیکی ایرفویل NACA23012

محمد مهدی ناظمی^۱، مسعود میرزایی^۲، غلامحسین پوریوسفی^۳

۱- دانشجوی کارشناسی ارشد، مهندسی هوافضا، دانشگاه صنعتی خواجه نصیرالدین طوسی، تهران

۲- دانشیار، مهندسی هوافضا، دانشگاه خواجه نصیرالدین طوسی، تهران

۳- دانشجوی دکتری، مهندسی هوافضا، دانشگاه صنعتی خواجه نصیرالدین طوسی، تهران

* تهران، صندوق پستی ۱۹۶۹۷۶۴۴۹۹

mirzaei@kntu.ac.ir

چکیده

در این مقاله، اثرات آبودینامیکی تجمیع یخ بازگشتی بر روی ایرفویل NACA 23012 بصورت عددی و تجربی مورد بررسی قرار گرفته است. در این راستا، آزمایشات در عدد رینولدز $Re = 0.6 \times 10^6$ در محدوده زوایای حمله ۰ تا ۲۰ درجه، بر روی ایرفویل بخزده بازگشتی، انجام شد و سپس نتایج آن با نتایج حاصل از ایرفویل بدون یخ مورد مقایسه قرار گرفت. بطور کلی با مطالعه رفتار الگوی جریان و ضرایب آبودینامیکی برای ایرفویل بخزده و مقایسه نتایج آنها با ایرفویل بدون یخ مشخص شد که یخ زدگی به دو صورت بر روی عملکرد آبودینامیکی ایرفویل تأثیر می‌گذارد. در حالت اول که در زوایای حمله پایین و تا قبل از شروع حالت واماندگی ایرفویل اتفاق می‌افتد، تأثیر بخزدگی موضعی است. در این حالت، تشکیل یخ بر روی ایرفویل، باعث شکل‌گیری یک حباب جدایش جریان پشت توده یخ، در سطح بالای ایرفویل می‌گردد. با شبیه‌سازی میدان جریان بصورت عددی، حباب جدایش تشکیل شده در پشت یخ، مشاهده شد. اما تأثیر اصلی پدیده بخزدگی، به حالت دوم مربوط می‌شود که در زوایای حمله نزدیک به واماندگی و بعد از آن اتفاق می‌افتد. در این حالت، الگوی جریان اطراف ایرفویل و همچنین ضرایب آبودینامیکی بصورت اساسی و قابل توجه تغییر می‌کند. بعلاوه، آشکار شد که یخ بازگشتی باعث می‌شود زاویه واماندگی ۲ درجه و ضریب برآی بیشینه حدود ۸ درصد کاهش یابد.

اطلاعات مقاله

مقاله پژوهشی کامل

دریافت: ۲۵ دی ۱۳۹۳

پذیرش: ۲۷ اسفند ۱۳۹۳

ارائه در سایت: ۲۹ فروردین ۱۳۹۴

کلید واژگان:

سوانح هوایوردي

بخزدگی ایرفویل

یخ بازگشتی

NACA23012 ایرفویل

Experimental and Numerical study of Runback ice accretion effects on aerodynamic performance of NACA23012 airfoil

Mohammad Mahdi Nazemi, Masoud Mirzaei *, Gholamhosein Pouryoussefi

Department of Aerospace Engineering , K.N. Toosi University of Technology, Tehran, Iran.

* P.O.B. 1969764499 Tehran, Iran, mirzaei@kntu.ac.ir

ARTICLE INFORMATION

Original Research Paper
Received 15 January 2015
Accepted 18 March 2015
Available Online 18 April 2015

Keywords:
Aviation accidents
Airfoil icing
Runback ice
NACA23012 airfoil

ABSTRACT

In this paper, effects of runback ice accretion on NACA 23012 airfoil have been studied in an experimental and numerical manner. According to this purpose, experiments have been done using runback ice within Reynolds No. 0.6×10^6 over the angle of attack from 0 to 20 degrees and results have been compared with the clean airfoil results. Having examined behavior of the flow pattern and aerodynamic coefficients of the iced airfoil, results were compared with those of the clean airfoil. It can be concluded that icing phenomenon affects aerodynamic performance of the airfoil in two ways; first, it occurs at low angles of attack prior to stalling of the airfoil and the effect is local. In this case ice accretion on the airfoil contributes to formation of a flow separation bubble behind the ice ridge on the upper surface of the airfoil. After numerical simulation of flow field, flow separation bubble behind the ice ridge was observed. The main effect of icing which is related to the second way occurs at angles of attack close to stall and post-stall. In this case flow pattern around the airfoil as well as aerodynamic coefficients undergo fundamental change. In addition, it was clear runback ice causes stall angle to decrease 2 degrees and maximum lift is reduced about 8 percent.

کلی یخ زدگی یکی از خطرات بسیار جدی برای انواع هواپیماها به شمار می-رود. عامل این یخ زدگی که در حین پرواز به وجود می‌آید، ذرات ریز یخ درون ابرها و یا قطرات مادون سرد آب هستند که حتی در دماهای پایین‌تر از صفر درجه، در فاز مایع باقی می‌مانند. این قطرات در روی سطوحی که به سیستم‌های ضد یخ زدگی و یا یخ زدایی مجهز نیستند، ممکن است فوری و یا با کمی تأخیر به یخ تبدیل شوند. یخ زدگی ممکن است در دماهای نزدیک به صفر

۱- مقدمه

امروزه در نظر گرفتن تأثیر شرایط آب و هوایی سرد، نقش بسیار حیاتی را در چگونگی طراحی، تحلیل و آزمایشات عملکرد بالهای هواپیماها، بازی می‌کند [۱]. تنها از سال ۱۹۹۰ تا سال ۲۰۰۶ میلادی به تعداد ۲۴۰ مورد حادثه هوایی مربوط به یخ زدگی در پروازهای روزانه گزارش شده است که بسیاری از آنها مربوط به پدیده یخ زدگی بر روی بال هواپیما بوده است [۲]. به طور

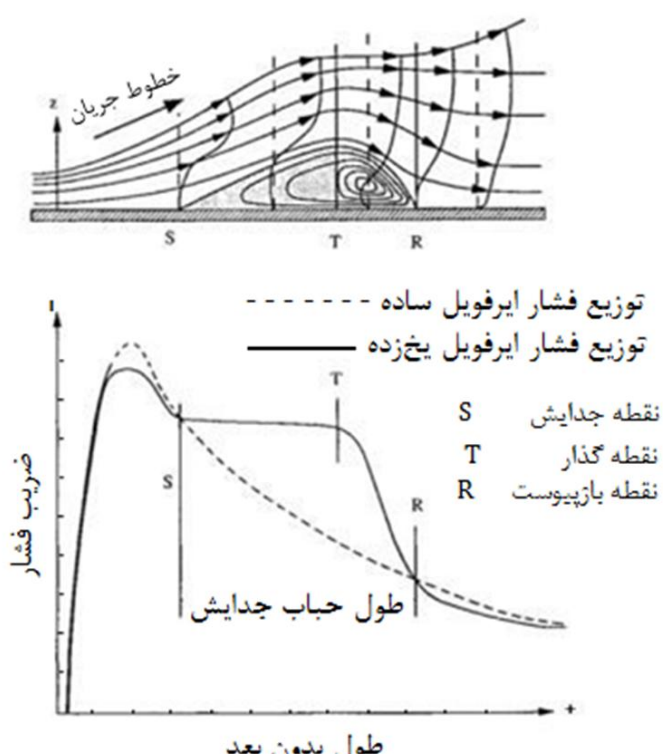
Please cite this article using:

M.M. Nazemi, M. Mirzaei, G. Pouryoussefi, Experimental and Numerical study of Runback ice accretion effects on aerodynamic performance of NACA23012 airfoil, *Modares Mechanical Engineering*, Vol. 15, No. 6, pp. 7-15, 2015 (In Persian)

برای ارجاع به این مقاله از عبارت ذیل استفاده نمایید:

مومنتوم بالاست (بیرون حباب جدایش)، با جریان کم سرعت زیرین آن (درون حباب جدایش)، با هم ترکیب شوند (پیدیده اختلاط). معمولاً در زوایای حمله پایین، این اختلاط جریان با فرآیند گذار لایه برشی همزمان و کوپل می‌شود و از طریق تقویت و انژیک کردن لایه برشی جداسده، به بازیابی فشار کمک کرده و جریان به سطح ایرفویل مجدد می‌چسبد (در نقطه R). این نقطه اتصال دوباره جریان به سطح ایرفویل، ناپایدار و ناپایا می‌باشد و فاصله بین نقطه S تا نقطه R بعنوان طول حباب جدایش شناخته می‌شود. این در حالی است که در زوایای حمله بالاتر، به دلیل افزایش گرادیان فشار معکوس در سطح بالایی (طرف مکشی) ایرفویل، فرآیند بازیابی فشار (بازیابی جریان) بخوبی انجام نمی‌شود و لایه برشی جداسده، دیگر به سطح ایرفویل نمی‌چسبد. این فرآیند باعث می‌شود که حالت واماندگی برای ایرفویل یخزده، زودتر رخ بدهد و زاویه استال ایرفویل یخزده کاهش یابد.

در سال‌های گذشته، تحقیقات زیادی در زمینه مطالعه اثرات یخزدگی، بر روی ایرفویلهای مختلف انجام گرفته است. لی و برگ [8] در سال 1999 آزمایشات خود را بر روی ایرفویل یخزده NACA23012 در $Re = 1.8 \times 10^6$ انجام دادند. آن‌ها دریافتند که با قرارگیری یخ در نقاطی از ایرفویل، حباب جدایش طولانی در پایین دست یخ تشکیل می‌شود. بعلاوه، آن‌ها کاهش قابل‌توجه ضریب برآی بیشینه و همچنین تغییرات زیاد در ضریب پسرا، با جابجایی توده یخ، گزارش کردند. در سال 2009، میرزایی و همکارانش [9] با مطالعه مشخصات میدان جریان اطراف ایرفویل یخزده NLF-0414، تغییرات طول حباب جدایش را بر حسب زاویه حمله، گزارش کردند. در سال 2010، اثرات تشکیل یخ بازگشتی بر روی ایرفویل NACA23012 توسط بروارن و همکارانش [5] مورد بررسی قرار گرفت. همچنین در همین سال دوست‌محمودی و همکارانش [10] به بررسی پارامترهای آیرودینامیکی ایرفویل یخزده نوع آزمایشاتی بوسیله‌ی آلگری و هاموند [11] در مورد اثر یخ بازگشتی، روی ایرفویل B737/700، که بر روی لبه حمله به یک گرمکن الکترونیکی مجهز بود، انجام شد. هدف آن‌ها بررسی شکل یخ بازگشتی و ارزیابی مشخصه‌های آیرودینامیکی آن بود. در سال 2013، کریشان پارمار [12]، اثرات آیرودینامیکی یخ بازگشتی، را بصورت عددی و تجربی مورد بررسی قرار داد.



شکل ۱ تحلیل میدان جریان و توزیع فشار برای حباب جدایش آرام لبه حمله بر روی ایرفویل یخزده [6]

شروع شود و یا حتی تا دمای ۴۰ درجه سانتیگراد به تأخیر افتد [3]. این پدیده معمولاً در ارتفاعات ۲۲۰۰۰ پا و بالاتر که امکان وجود قطرات مادون سرد می‌باشد، رخ می‌دهد [2]. این در حالی است که بر اساس برخی گزارش‌ها، یخزدگی در فصل زمستان معمولاً در ارتفاع بین ۷۰۰۰ تا ۹۰۰۰ پا از سطح دریا جدی است و در ارتفاع بالای ۲۰۰۰۰ پا به ندرت اتفاق می‌افتد [3]. بطور کلی، یخزدگی هواپیما به شرایطی اطلاق می‌شود که ذرات مادون سرد آب بر روی بال و بدن، موتورها، ملخ‌ها و غیره یخ بزنند و باعث اختلال در جریان هوای عبوری شوند. بر اساس تعریف آژانس هوانوردی فدرال، یخزدگی در شرایطی ایجاد می‌شود که رطوبت قابل مشاهده وجود داشته باشد و دمای سطح، کمتر از دمای انجماد باشد. این در حالی است که میزان، نرخ و شکل یخزدگی به عواملی چون مقدار آب، اندازه قطرات، دمای سطح هواپیما، سرعت، مدت زمان یخزدگی، زبری سطح و غیره بستگی دارد. یخزدگی به نوع ابرها و هواپیما، شرایط پروازی و همچنین عملکرد سیستم‌های ضدیخزدگی نیز وابسته است [3].

در سال‌های اخیر حوادث زیادی بر اثر یخزدگی به وقوع پیوسته است و شبیه‌سازی‌های زیادی برای تحقیقات عددی و آزمایشگاهی در زمینه رشد یخ بر روی هواپیما انجام شده است. امروزه نیز تحقیقات بسیاری برای درک یخزدگی در هواپیماها در جریان است تا بتوان سیستم‌های یخزدایی بهتری را طراحی نمود [4]. بر اساس هندسه‌های مختلف، یخ‌ها را می‌توان در پنج گروه طبقه‌بندی کرد: (۱) یخ زبری¹ (۲) یخ شاخی² (۳) یخ در راستای جریان³ (۴) یخ انباشته در راستای دهانه⁴ و (۵) یخ بازگشتی⁵ [5]. معمولاً در سیستم‌های ضد یخزدگی، از گرما برای جلوگیری از یخ‌زدن قطرات مادون سرد آب استفاده می‌شود. در مورد بال‌ها، سیستم ضد یخزدگی معمولاً در لبه حمله بال و در جایی که ذرات آب به بال برخورد می‌کنند نصب می‌شود. اگر چه می‌توان به وسیله این سیستم‌ها، لبه حمله را از یخ‌زدن دور کرد، اما گاهی اوقات مقداری از این قطرات آب ممکن است در پایین دست لبه حمله (پشت سیستم ضد یخزدگی) مجدداً چار یخزدگی بشوند، که معمولاً منجر به تشکیل یخ بازگشتی می‌شوند. به دلیل اثرات کاهش کارایی هواپیما در شرایط یخزدگی، بر روی امنیت پرواز، درک صحیح از فیزیک میدان جریان اطراف ایرفویل یخزده و پیش‌بینی رفتار آیرودینامیکی بال، از اهمیت بالایی برخوردار است.

روبرتز [6] و همکارانش [7]، مکانیزم حاکم بر میدان جریان اطراف ایرفویل یخزده را اینگونه توضیح دادند که جریان آرام و یا در حال گذار، به دلیل وجود گرادیان فشار معکوس شدید، از نوک توده یخ جدا می‌شود. متعاقباً، یک لایه برشی ناپایدار و ناپایا مابین جریان پرسرعت بالایی آن و جریان کم سرعت زیرین آن، تشکیل می‌شود که به آن لایه برشی جداسده گفته می‌شود که نهایتاً منجر به تولید، رشد و ریزش متناوب گردابه می‌گردد. در واقع، ابتدا ورتیسیتی در لایه برشی می‌پیچد که منجر به تشکیل گردابه می‌شود و سپس گردابه‌های هنگامی که به طرف پایین دست حرکت می‌کنند، در جهت تشکیل گردابه‌های بزرگتر (که دارای ساختار منسجم هستند) درون لایه برشی می‌پیچند و ادغام می‌شوند. ناحیه‌ای با مقدار فشار نسبتاً ثابت (ناحیه مکشی) بعد از جدایش جریان (نقطه S) به وجود می‌آید و بازیافت فشار در این ناحیه تا تغییر رژیم جریان به جریان مغشوش (یعنی تا حوالی نقطه گذار T) به تأخیر می‌افتد (شکل ۱ را ببینید). حرکت گردابه‌ها درون لایه برشی جداسده باعث می‌شود که جریان بالایی آن که دارای

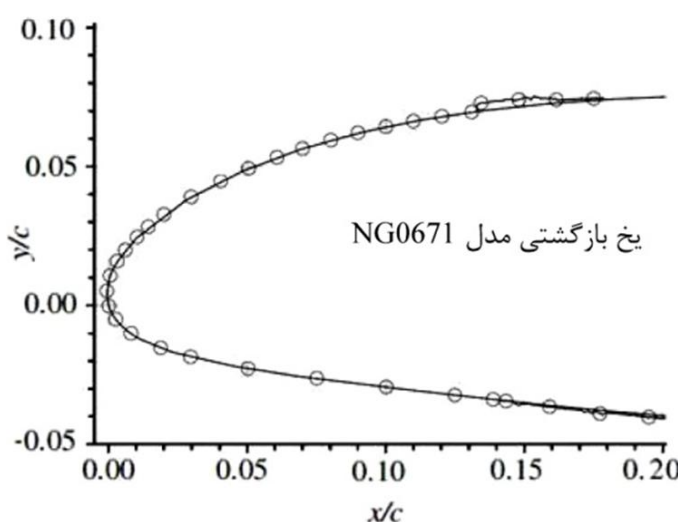
1- Roughness

2- Horn ice

3- Streamwise ice

4- Spanwise-ridge ice

5- Runback ice

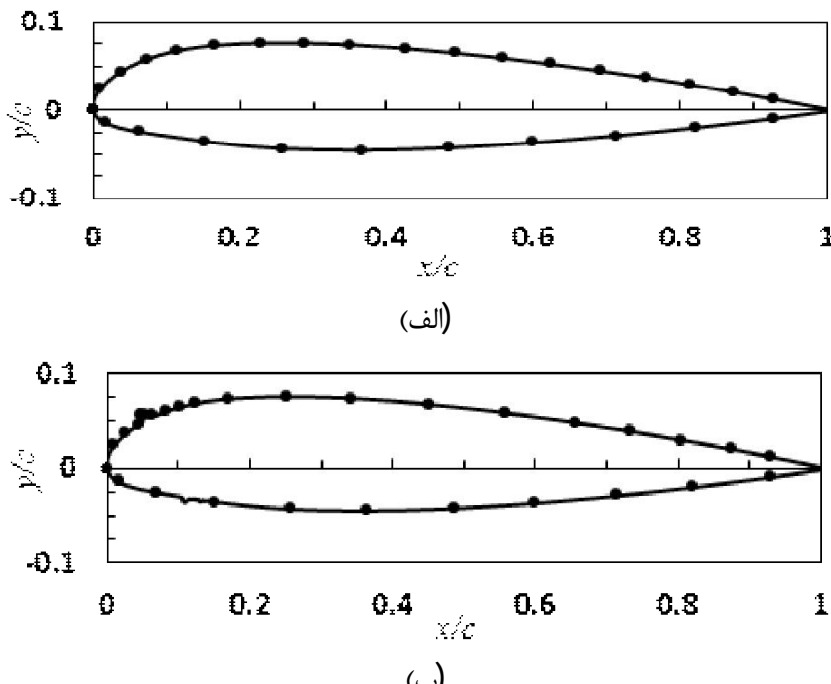


شکل 3 نمای شماتیک از هندسه ایرفویل بخ زده NACA23012

مدل ایرفویل از جنس پلکسی‌گلاس ساخته شد و طول وتر و دهانه آن نیز به ترتیب $35/4\text{ cm}$ و 75 cm می‌باشد (نسبت منظری مدل تقریباً برابر 2 است). سطح مدل ابتدا صیقلی و سپس رنگ و پولیش شد تا زبری سطح برابر $\approx 0.05\text{ }\mu\text{m}$ حاصل R_a (μm) باشد.علاوه، مطابق شکل 4 در راستای اندازه-گیری فشار روی سطح ایرفویل، بر سطح بالایی مدل 18 حفره فشار و بر سطح پایینی آن 10 حفره فشار به قطر 0.6 mm . اطراف میانه دهانه ایرفویل (به صورت متواالی زیگزاگ) ایجاد شد. همانگونه که در شکل 5 مشاهده می-شود به دلیل مطالعه دقیق پدیده جدایش جریان بر روی سطح بالای ایرفویل، تعداد حفره‌های فشار روی این سطح، بیشتر در نظر گرفته شد.



شکل 4 نمایی از مدل ایرفویل و ایجاد حفره‌های فشار روی آن



شکل 5 مختصات حفره‌های فشار برای ایرفویل بدون بخ (شکل الف) و ایرفویل بخ زده (شکل ب) NACA23012

وی آزمایشات خود را بر روی سه ایرفویل مختلف B737-200ADV، B737-700 و NACA23012 انجام داد. پارمار شبکه‌بندی مورد نیاز را در محیط نرم‌افزاری ANSYS ICEMCFD¹ ایجاد کرد و از آن در بهینه‌سازی و اعتبارسنجی اطلاعات بدست آمده استفاده کرد. در سال 2014 پوریوسفی و همکارانش [13] اثرات بخ-زدگی را بر روی پارامترهای آیرودینامیکی ایرفویل NACA 23012 مورد مطالعه قرار دادند. آن‌ها آزمایشات خود را بصورت تجربی و بر روی دو نوع بخ شاخی و بخ انباشته شده در راستای دهانه انجام دادند. در سال 2015 نیز مانجینی و همکاران [14] مکانیزم تشکیل بخ بازگشتی را بر روی سطوح هیدروفلیک (ابدوست) و سوپرهیدروفلیک مورد بررسی قرار دادند.

همانگونه که پیشتر بیان شد با وجود پیشرفت و ارتقای سیستم‌های ضد بخ‌زدگی و بخ‌زدایی بر روی هواپیماهای جدید، سوانح هوانوردی که در سال-های اخیر در اثر بخ‌زدگی بال هواپیما گزارش شده‌اند، لزوم بررسی این پدیده را آشکار می‌سازد. در تحقیق کنونی، اثرات تشکیل بخ بازگشتی بر روی سطح ایرفویل 23012 (بعثت کاربرد فراوان در هوانوردی عمومی و تأثیر شدید بخ‌زدگی بر آن)، در عدد رینولز $Re = 0.6 \times 10^6$ برای زوایای حمله مختلف، بصورت تجربی و عددی بررسی می‌شود. در این راستا، با مقایسه ضرایب آیرودینامیکی و همچنین الگوی جریان اطراف ایرفویل‌های بخ‌زده و بدون بخ، برای اولین بار، مکانیزم تأثیرگذاری بخ‌زدگی بر روی عملکرد آیرودینامیکی ایرفویل، به دو حالت اصلی: 1- تأثیر موضعی و 2- تأثیر اساسی، طبقه‌بندی می‌شود و مشخصات هر حالت تشریح می‌گردد.

2- جزئیات آزمایشگاهی

آزمایشات در تونل باد سرعت‌پایین و مدارباز دانشکده مهندسی هوافضای دانشگاه صنعتی خواجه نصیرالدین طوسی انجام گرفت که دارای اتاق آزمون دیواره‌بسته‌ای با مقطع عرضی مستطیلی 1 متر در $1/2$ متر و طول 3 متر می‌باشد (شکل 2 را ببینید). تحت شرایط جریان یکنواخت، شدت اغتشاشات جریان آزاد طولی کمتر از $0/15$ درصد و همچنین غیریکنواختی سرعت در عرض اتاق آزمون برابر $0/5 \pm 0/15$ درصد بود.علاوه، با توجه به ابعاد اتاق آزمون و در نظر گرفتن اندازه مدل ایرفویل و زوایای حمله آزمایشات، نسبت انسداد بیشینه در حدود 8 درصد بود.

هندسه ایرفویل بخ‌زده ساخته شده در تحقیق کنونی، از مرجع [5] با نام بخ بازگشتی مدل (NG0671) استخراج شده است (شکل 3). در این مرجع، با توجه به نتایج آزمایشات انجام شده در تونل باد تحقیقاتی بخ‌زدگی ناسا، تحت شرایط مختلف از جمله دما، سرعت، ابعاد قطرات و مدت زمان بخ‌زدگی، هندسه توده بخ بدست آمده است. جدول 1 شرایط تشکیل این نوع بخ‌زدگی را بیان می‌کند.



شکل 2 تونل باد مورد استفاده در تحقیق کنونی

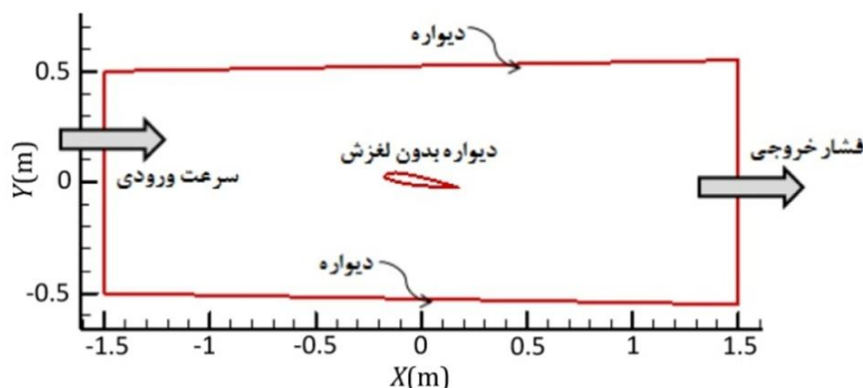
1- ANSYS ICEMCFD

جدول 1 شرایط تشکیل بخ روی ایرفویل [5] NACA23012

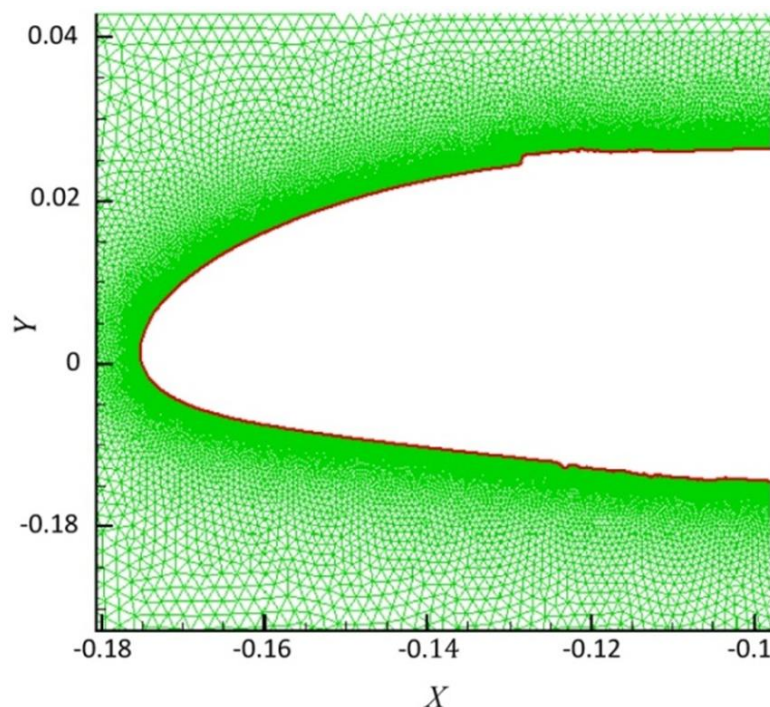
شکل بخ	نام مدل	سرعت هوا kn	زاویه حمله deg	محتوی آب g/m ³	قطر حجمی μm	دماه کل °F	دماه استاتیک °C	مدت اسپری، دقیقه	دماه گین °F	دماه گین °C
بازگشتی	NG0671	141	1/1	0/91	28	-5/1	-7/7	18/2	22/9	22/5

عددی نمایش داده شده است.

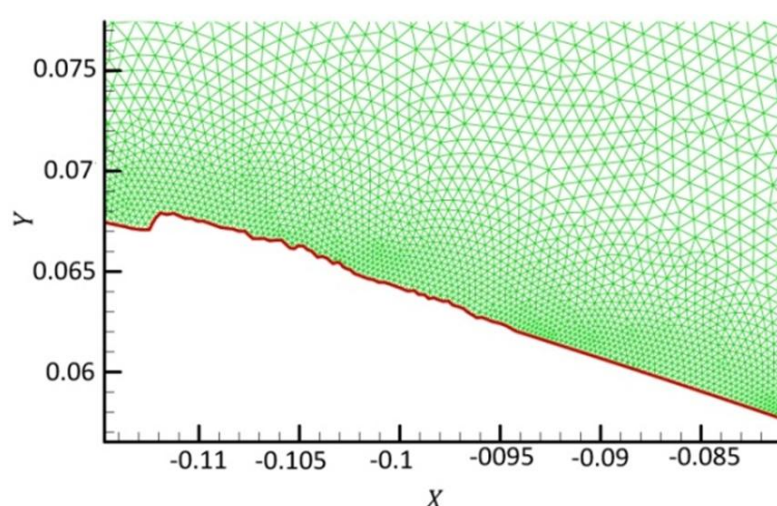
از آنجا که ساختار جریان دارای پیچیدگی‌های زیادی مانند حباب جداشده جریان، نواحی برگشت جریان و نوسانات جریان بود برای شبیه‌سازی میدان جریان از مدل انتقالی انتقال تنش برشی کا-آمگا استفاده شد. لازم به ذکر است که در این آزمایش از شبکه‌بندی بی‌سازمان برای حل میدان استفاده شد. در شکل‌های 7 و 8 نمایی از توزیع شبکه اطراف ایرفویل بخ‌زده قابل مشاهده است. شبکه‌بندی بصورتی است که در نزدیکی سطح ایرفویل شبکه‌ها بسیار ریز هستند و با دور شدن از سطح ایرفویل شبکه‌بندی موردنظر درشت‌تر می‌شود. بهترین تعداد مش برای ایرفویل بخ‌زده شامل 303862 مش بود که در این حالت نتایج از تعداد نقاط مستقل می‌شد.



شکل 6 قلمرو حل جریان در اطراف ایرفویل و شرایط مرزی بکار رفته در حل عددی



شکل 7 توزیع شبکه اطراف ایرفویل بخ‌زده



شکل 8 توزیع شبکه اطراف ایرفویل بخ‌زده

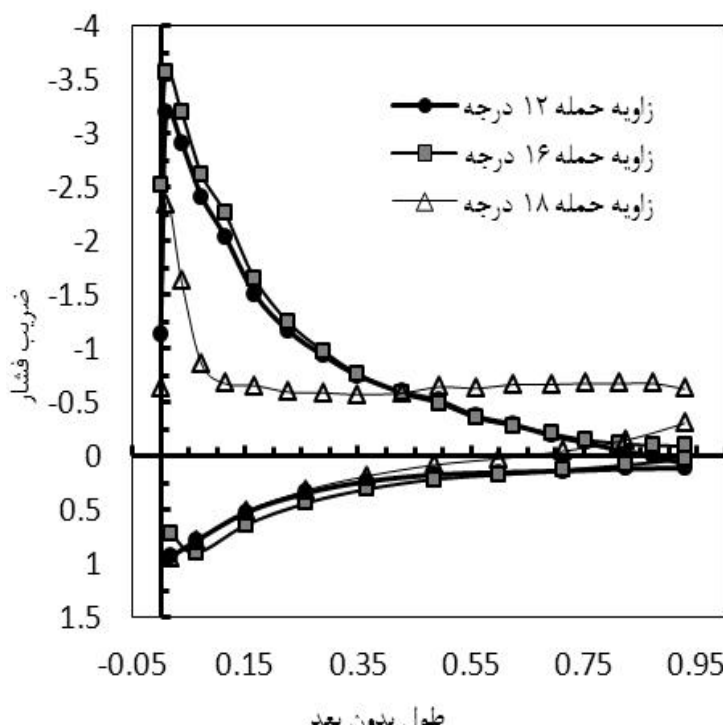
برای اطمینان از دو بعدی بودن جریان در حین آزمایشات تجربی، مدل بگونه‌ای در مقطع آزمون کار گذاشته شد که یک طرف آن کاملاً به دیواره مقطع آزمون توپل باد چسبانده شد و در طرف دوم با نصب یک صفحه در بالای مدل از ایجاد پدیده فرووزش جلوگیری بعمل آمد. همچنین کلیه آزمایشات در میانه‌ی دهانه مدل انجام شدند.

برای اندازه‌گیری توزیع فشار بر روی سطح ایرفویل از یک سیستم اندازه‌گیری فشار شامل مبدل‌های الکترونیکی فشار مدل DC005NDC4 ساخت هانیول¹، یک دستگاه برد الکتریکی (A/D) 16 بیتی 32 کاناله ساخت NI² مدل PCI-6224، نرم‌افزار لبوی‌یو³، برنامه داده‌برداری میدان فشار⁴ محصول F.F.S (شرکت فراسنجش)، و یک دستگاه کامپیوتر شخصی، استفاده شد. برای اندازه‌گیری ضرب فشار میانگین، مدت زمان هر رکوردگیری فشار برابر 20 ثانیه بود و همچنین نرخ نمونه‌گیری 1000 هرتز به کار گرفته شد. بعلاوه، برای محاسبه ضرایب آیرودینامیکی میانگین، از روش توزیع فشار استفاده شد با توجه به دقت دستگاه‌های اندازه‌گیری مورد استفاده و همچنین شرایط درنظر گرفته شده برای آزمایشات، عدم قطعیت اندازه‌گیری‌های ضرایب فشار، برا، پسا و گشتاور به ترتیب برابر با $C_D \pm 0/001$ ، $C_L \pm 0/002$ ، $C_P \pm 0/002$ ، $C_{M,LE} \pm 0/001$ و $C_{D,LE} \pm 0/001$ می‌شود. در مطالعه کوئنی، ضریب فشار (C_P)، ضریب برا (C_L)، ضریب پسا (C_D) و ضریب گشتاور پیچشی حول لبه حمله ($C_{M,LE}$) برای ایرفویل، به ترتیب به صورت $C_P = (P - P_\infty) / (0.5\rho V_\infty^2)$ ، $C_L = L / (0.5\rho V_\infty^2 c)$ ، $C_D = D / (0.5\rho V_\infty^2 c)$ و $C_M = M / (0.5\rho V_\infty^2 c^2)$ تعریف شده‌اند که در آن‌ها، P فشار استاتیک جریان آزاد، L نیروی برا، D نیروی پسا (پسای فشاری)، M گشتاور پیچشی حول لبه حمله، c چگالی هوا، ρ سرعت جریان آزاد و V_∞ سطح ایرفویل، P_∞ فشار استاتیک جریان آزاد، ρ نیروی پسا (پسای فشاری)، c طول و تر ایرفویل می‌باشد. در پژوهش حاضر بخ‌زده، در ماخ جریان آزاد و c مقدار 600000 رینولدز (بر مبنای طول و تر ایرفویل و سرعت جریان آزاد 0/075 m/s) مورد آزمایش قرار گرفت و نتایج آن با حالت ایرفویل ساده (بدون بخ‌زده) مقایسه شد. انتخاب سرعت 25 متر بر ثانیه، به منظور بزرگ‌تر شدن عدد رینولدز آزمایشات (0.6×10^5)، نسبت به $Re_{cr} \approx 0.05 \times 10^5$ می‌باشد. در صورت بزرگ‌تر بودن عدد رینولدز، نسبت به حالت بحرانی، جریان روی ایرفویل مغشوش شده و شبیه‌سازی حالت واقعی بال (شرایط پرواز)، میسر می‌گردد. این در حالی بود که در طول آزمایشات، شرایط جریان مرجع، توسط یک لوله استاتیکی پیتوت و یک میکرومانتور رزوولشن بالا (مدل تستو 5126-0560) به صورت مداوم اندازه‌گیری و مانیتور می‌شد. بعلاوه، آزمایشات در 11 زاویه حمله مختلف، از صفر درجه تا +20 درجه (با گام زاویه‌ای 2 درجه) انجام شدند.

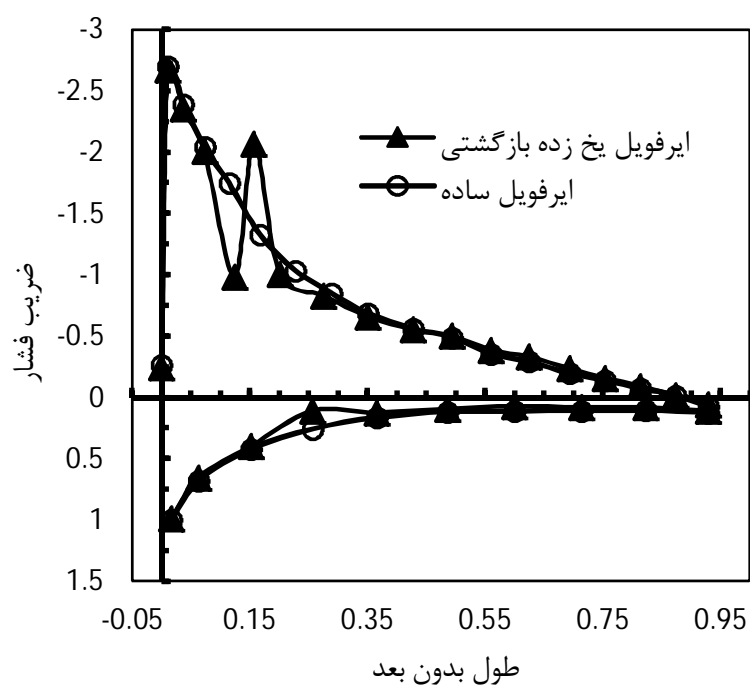
3- جزئیات حل عددی

برای انجام آزمایشات عددی از نرم افزار فلوبنت استفاده شد. این آزمایشات در عدد رینولدز 600000 انجام شدند. در مرزهای ورودی از شرط مرزی سرعت ورودی و در مرز خروجی از شرط مرزی فشار خروجی استفاده شد. در شکل 6 نمایی شماتیک از قلمرو حل جریان و شرایط مرزی بکار رفته در حل

- 1- Honeywell
- 2- National Instrument
- 3- LabVIEW
- 4- Pressure Field
- 5- Testo



شکل 10 ضریب فشار بر حسب c/x در زوایای حمله 12، 16 و 18 درجه برای ایرفویل بدون بخ



شکل 11 ضریب فشار بر حسب c/x در زوایای حمله 10 درجه برای ایرفویل بخ زده بازگشتی

همچنین، در زوایه حمله 18 درجه، بر اثر گرادیان شدید فشار معکوس، توزیع فشار نسبت به زوایای قبلی کاملاً تغییر کرده است و با جداشدن جریان از سطح ایرفویل در نزدیکی لبه حمله (از حوالی $0.1 \approx \frac{x}{c}$)، ضریب فشار در سطح بالایی تقریباً ثابت شده است ($C_p \approx 0.65$) که می‌تواند نشان‌دهنده قرار گرفتن ایرفویل در شرایط واماندگی باشد. همانطور که در این شکل مشاهده می‌شود، در زوایای واماندگی و بعد از آن، پیک منحنی فشار (مکش در لبه حمله) در سطح بالایی ایرفویل به شدت افت می‌کند که علت آن، تغییر اساسی در الگوی جریان هنگام وقوع واماندگی است (یعنی جدا شدن جریان از اطراف لبه حمله).

4-2-4- ایرفویل بخ زده

توزیع ضریب فشار بر روی سطح ایرفویل بخ زده بازگشتی در پنج زاویه حمله مختلف، از 10 تا 18 درجه، بترتیب در شکل‌های 11 الی 15 آورده شده و با ایرفویل بدون بخ مقایسه شده است. بطور کلی، با مقایسه توزیع فشار ایرفویل بخ زده بازگشتی با ایرفویل بدون بخ، مشاهده می‌شود که تجمعی (تشکیل) بخ بازگشتی در زوایای حمله 10 الی 14 درجه، بصورت موضعی بر روی توزیع فشار سطح بالایی ایرفویل تأثیر می‌گذارد. در حقیقت، در این

4- نتایج تجربی

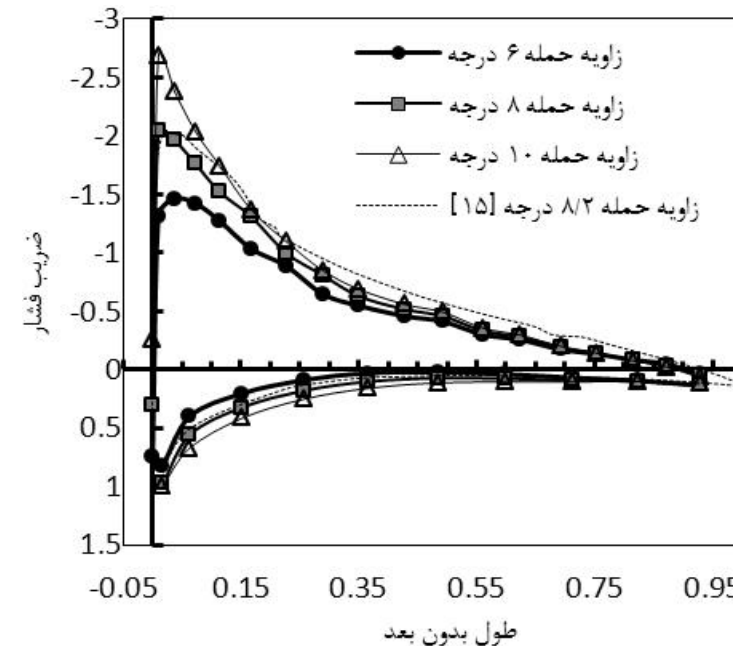
4-1- ایرفویل ساده (بدون بخ)

همانگونه که در شکل 9 مشاهده می‌شود با افزایش زاویه حمله تا 10 درجه، مکش اطراف لبه حمله در روی سطح بالایی ایرفویل، افزایش می‌یابد و موقعیت پیک منحنی فشار آن نیز، به لبه حمله نزدیکتر می‌شود. بعلاوه، با افزایش زاویه حمله، موقعیت نقطه سکون در جلوی ایرفویل که بر روی آن $C_p = 1$ است، از روی لبه حمله در زاویه حمله صفر درجه، اندکی به طرف پایین دست ایرفویل، روی سطح پایینی جابجا شده است. بطوری که در زاویه حمله 10 درجه، نقطه سکون بر روی موقعیت $0.02 \approx \frac{x}{c}$ روی سطح پایینی قرار دارد.

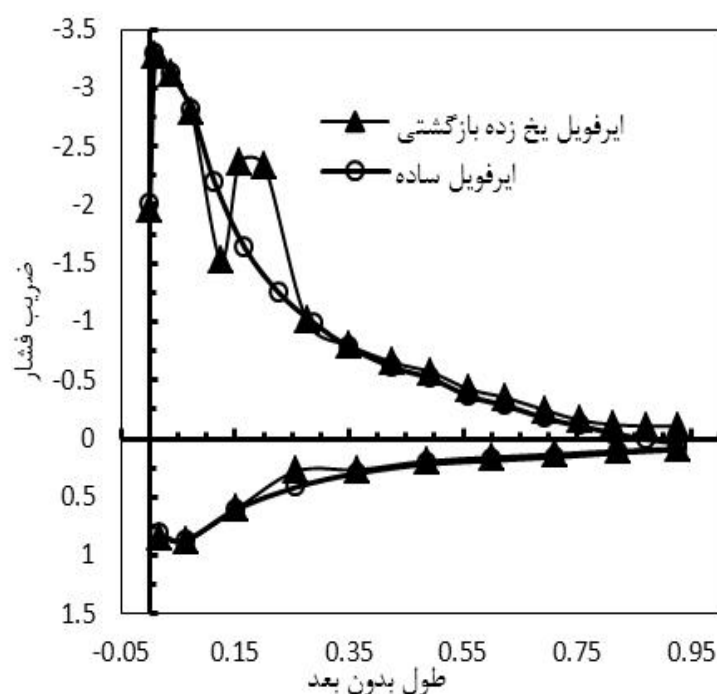
از سوی دیگر، برای ارزیابی صحت نتایج آزمایشات، توزیع ضریب فشار اندازه‌گیری شده در تحقیق کنونی، با نتایج بروارن و همکارانش [15] برای زاویه حمله $8/2$ درجه مقایسه شده است. مطابق شکل 9، بطور کلی تطابق نسبتاً خوبی بین نتایج فشار بدست آمده در دو تحقیق، مشاهده می‌شود. اندکی اختلاف در نتایج توزیع فشار، احتمالاً ناشی از تفاوت در شرایط آزمایشات، بویژه اختلاف در اعداد رینولز و ماخ می‌باشد.

مطابق شکل 10، با افزایش بیشتر زاویه حمله تا 16 درجه همچنان مکش در لبه حمله سطح بالایی، به طور پیوسته افزایش می‌یابد به طوریکه در زوایای حمله 12 و 16 درجه، ضریب فشار مینیمم به ترتیب به مقدار $C_p = -3.19$ و -3.56 می‌رسد. بعلاوه، مشاهده می‌شود که با افزایش زاویه حمله، نقطه سکون جریان در جلوی ایرفویل همچنان بر روی سطح پایینی، از لبه حمله دور می‌شود. به طوریکه در زاویه حمله 16 درجه، نقطه سکون بر روی موقعیت $\frac{x}{c} \approx 0.06$ قرار می‌گیرد. این در حالی است که در زاویه حمله 18 درجه، با تغییر اساسی الگوی جریان اطراف ایرفویل و قرار گرفتن در شرایط واماندگی، نقطه سکون مجدداً به موقعیت $0.02 \approx \frac{x}{c}$ روی سطح پایینی باز می‌گردد.

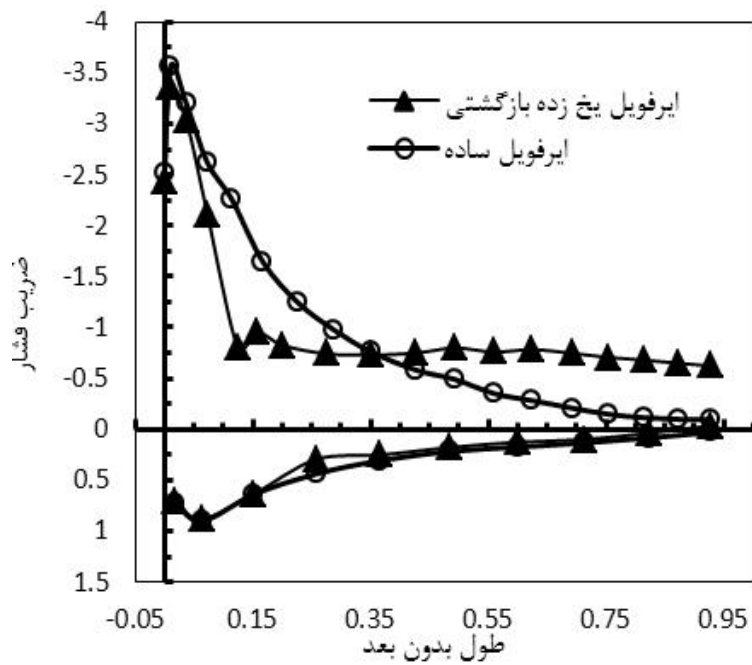
از طرف دیگر، اگر به نمودارهای ضریب فشار سطح بالایی در اطراف لبه فرار، بصورت دقیق توجه کنیم (شکل 10)، مشاهده می‌شود که در زاویه حمله 12 درجه، با نزدیک شدن از لبه حمله به طرف لبه فرار، ضریب فشار به صورت ملایم ولی پیوسته در حال افزایش است (یعنی بازیابی کامل فشار اتفاق می‌افتد). بنابراین می‌توان نتیجه گرفت که در این زاویه، جریان بر روی سطح بالایی ایرفویل تقریباً چسبیده است و جدایش محسوسی مشاهده نمی‌شود. این در حالی است که در زاویه حمله 16 درجه، با افزایش گرادیان فشار معکوس، جریان در حوالی $0.8 \approx \frac{x}{c}$ از روی سطح بالایی ایرفویل جدا می‌شود و در طول ناحیه جدایش، ضریب فشار بر روی سطح ایرفویل، تقریباً ثابت می‌ماند.



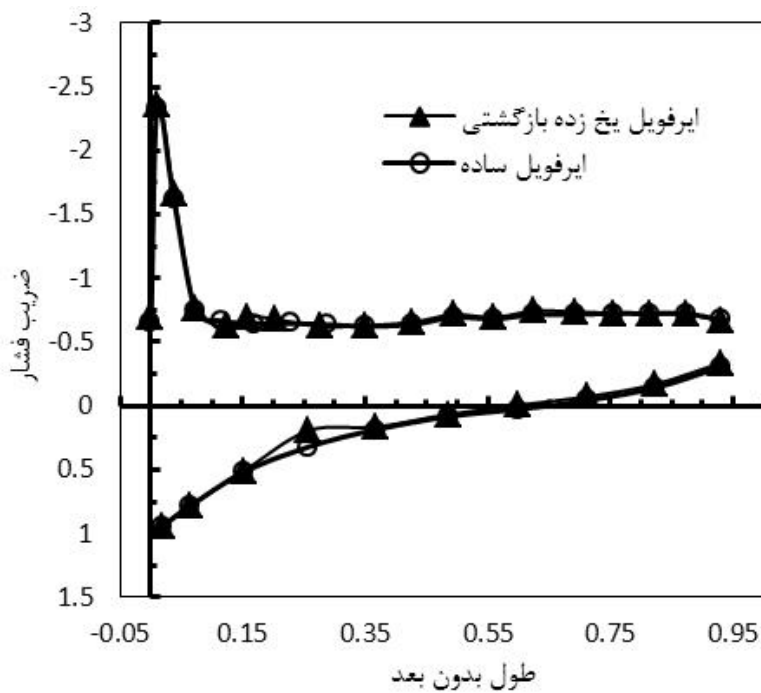
شکل 9 ضریب فشار بر حسب c/x در زوایای حمله 6، 8 و 10 درجه برای ایرفویل بدون بخ NACA 23012



شکل 13 ضریب فشار بر حسب c/x در زاویه حمله 14 درجه برای ایرفویل یخزده
بازگشتی NACA23012



شکل 14 ضریب فشار بر حسب c/x در زاویه حمله 16 درجه برای ایرفویل یخزده
بازگشتی NACA23012



شکل 15 ضریب فشار بر حسب c/x در زاویه حمله 18 درجه برای ایرفویل یخزده
بازگشتی NACA23012

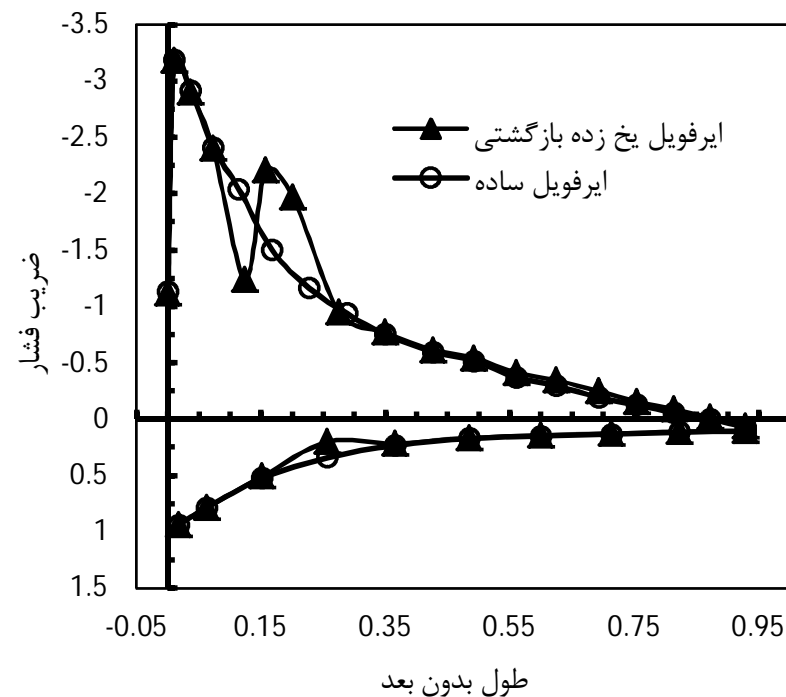
این شکل صحت نتایج بدست آمده از آزمایشات عددی را بیش از پیش تایید می‌کند. در این نمودار به وضوح می‌توان تأثیر موضعی یخ بر توزیع فشار را مشاهده کرد.

زوايا، پشت توده یخ، یک حباب جدایش نسبتاً کوچک تشکیل می‌شود به گونه‌ای که باعث می‌شود نمودار ضریب فشار در ناحیه اطراف توده یخ، بصورت موضعی دچار یک نوسان بشود. ابتدا در بالادست توده یخ، ضریب فشار اندکی افزایش می‌یابد زیرا جریان در جلوی توده یخ، مشابه جریان حول یک پله رو به جلو، رفتار می‌کند. از طرف دیگر، در پایین دست توده یخ، به دلیل وجود حباب جدایش، ضریب فشار به صورت موضعی کاهش می‌یابد. قابل ذکر است که الگوی جریان در پشت توده یخ، مشابه جریان اطراف یک پله رو به عقب است. این در حالی است که با دور شدن از توده یخ و حرکت به طرف لبه فرار ایرفویل، تأثیر یخزدگی بر روی توزیع فشار از بین می‌رود. باید توجه داشت که با افزایش زاویه حمله و متعاقباً افزایش مکش در سطح بالایی ایرفویل، طول حباب جدایش یخزدگی (کم کم) اندکی افزایش می‌یابد به گونه‌ای که در زاویه حمله 14 درجه، یک ناحیه نسبتاً کوچک فشار ثابت، در نمودار توزیع فشار مشاهده می‌شود که بیان‌کننده اندازه تقریبی طول حباب جدایش است (شکل 13 را ببینید).

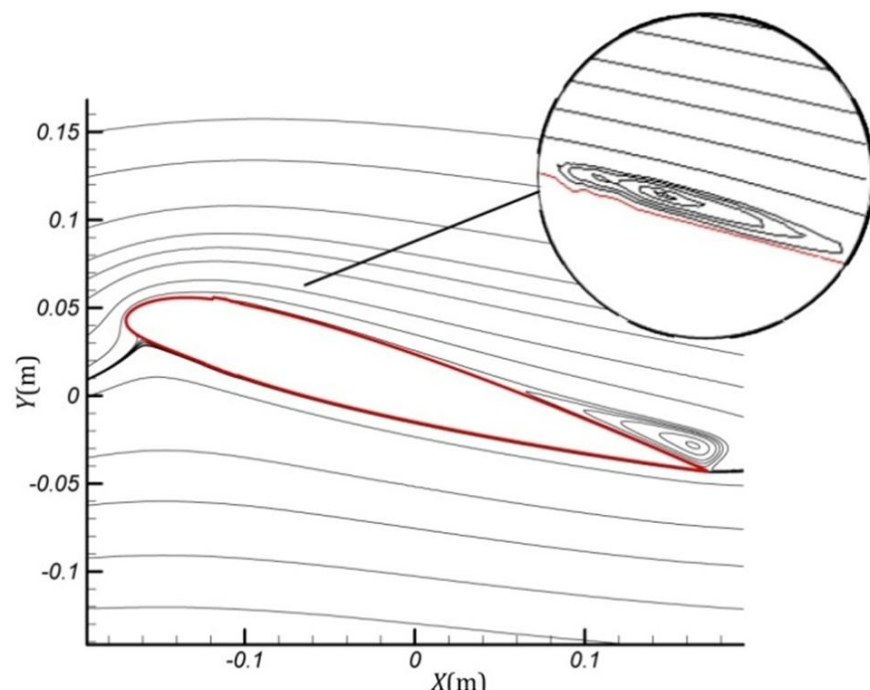
این در حالی است که در زاویه حمله 14 درجه، به دلیل افزایش گرادیان فشار معکوس، علاوه بر حباب جدایش یخزدگی، جریان در نزدیکی لبه فرار ایرفویل (حوالی $\frac{X}{C} \approx 0.8$) مجددأ جدا می‌شود. مطابق شکل 14، در زاویه حمله 16 درجه، توزیع فشار روی سطح بالایی و همچنین الگوی جریان اطراف ایرفویل یخزده، به صورت اساسی نسبت به ایرفویل بدون یخ، تغییر کرده است. در واقع، جریان جداسده از روی توده یخ (حوالی $\frac{X}{C} \approx 0.15$ ، بازیابی نشده و مجددأ به سطح ایرفویل نمی‌چسبد که این موضوع می‌تواند نشان‌دهنده قرار گرفتن ایرفویل یخزده بازگشتی در شرایط واماندگی باشد. بعلاوه، همانگونه که در شکل 15 مشاهده می‌شود در زاویه حمله 18 درجه، به علت گرادیان فشار معکوس شدید، جریان بر روی سطح هر دو ایرفویل، بلافضله در پایین دست لبه حمله و قبل از رسیدن به توده یخ (در حوالی $\frac{X}{C} \approx 0.07$)، جدا می‌شود و باعث می‌شود که توزیع فشار و الگوی جریان برای هر دو ایرفویل‌های یخزده و بدون یخ، یکسان بشود.

5- نتایج عددی

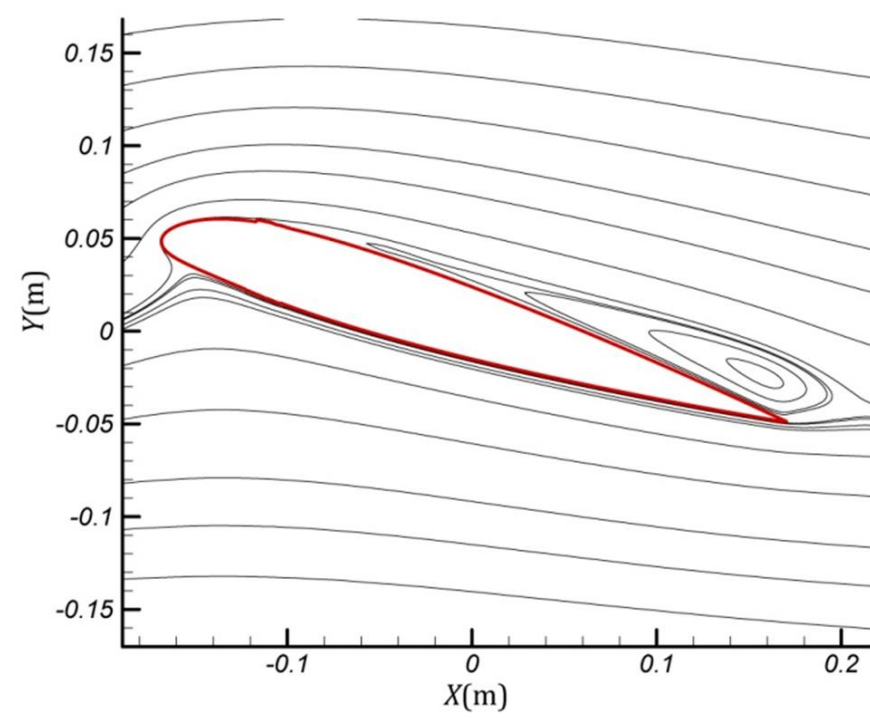
با مقایسه نتایج عددی و تجربی، تطبیق خوبی بین نتایج مشاهده شد. برای نمونه در شکل 16 مقایسه‌ای بین نتایج عددی و تجربی برای توزیع فشار ایرفویل یخزده در زاویه حمله 12 درجه، ارائه شده است.



شکل 12 ضریب فشار بر حسب c/x در زاویه حمله 12 درجه برای ایرفویل یخزده
بازگشتی NACA23012



شکل 18 میدان جریان حول ایرفویل بخ زده در زاویه حمله 14 درجه

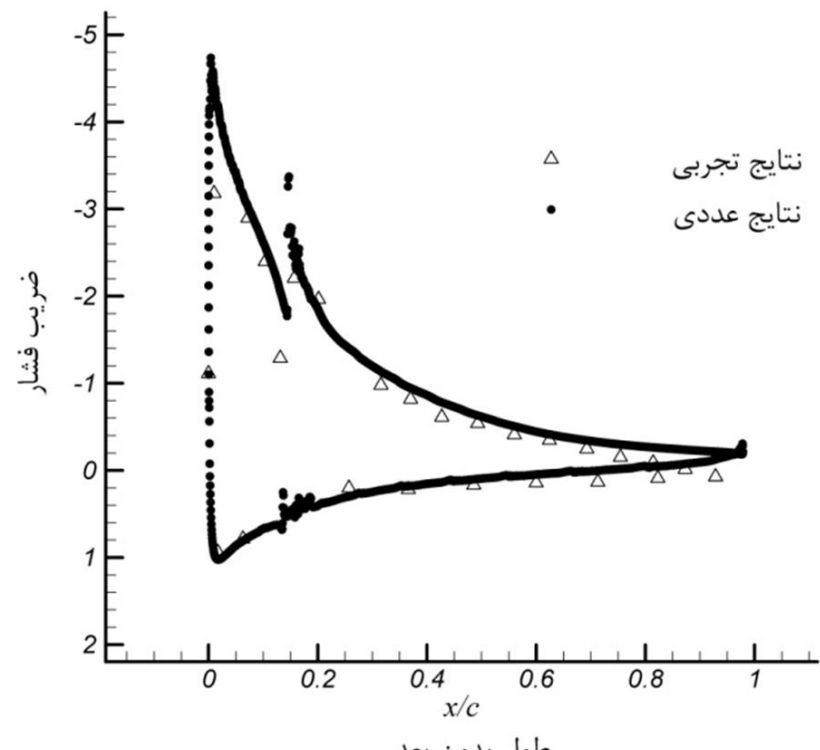


شکل 19 میدان جریان حول ایرفویل بخ زده در زاویه حمله 16 درجه

همچنین خطوط جریان اطراف ایرفویل بخ زده در چند زاویه حمله مختلف در شکل‌ها 17 تا 19 نشان داده شده‌اند. این نتایج از حل میدان جریان اطراف ایرفویل، توسط مکانیک سیالات محاسباتی، بدست آمده‌اند. با توجه به نمودارهای ضریب فشار مشخص شد که تجمعی بخ بازگشتی در زوایای حمله 10 الی 14 درجه، به صورت موضعی بر روی میدان جریان اطراف ایرفویل تأثیر می‌گذارد. در حقیقت، این اثر موضعی، حاصل تشکیل یک حباب جدایش نسبتاً کوچک در پشت توده بخ، در این زوایا می‌باشد.

در این زوایا جریان جدا شده از روی توده بخ، بازیابی شده و دوباره به سطح ایرفویل می‌چسبد. این در حالی است که، با افزایش زاویه حمله و در پی آن، افزایش مکش در سطح بالایی ایرفویل، طول حباب جدایش بخ‌زدگی اندکی افزایش می‌یابد.

در شکل 17 و 18 این حباب جدایش کوچک و رشد اندک آن در زاویه حمله 14 درجه نسبت به 12 درجه نشان داده شده است. همچنین در این زوایا، به دلیل افزایش گرادیان فشار معکوس، علاوه بر حباب جدایش بخ‌زدگی، جریان در نزدیکی لبه فرار ایرفویل مجددآ جدا می‌شود.

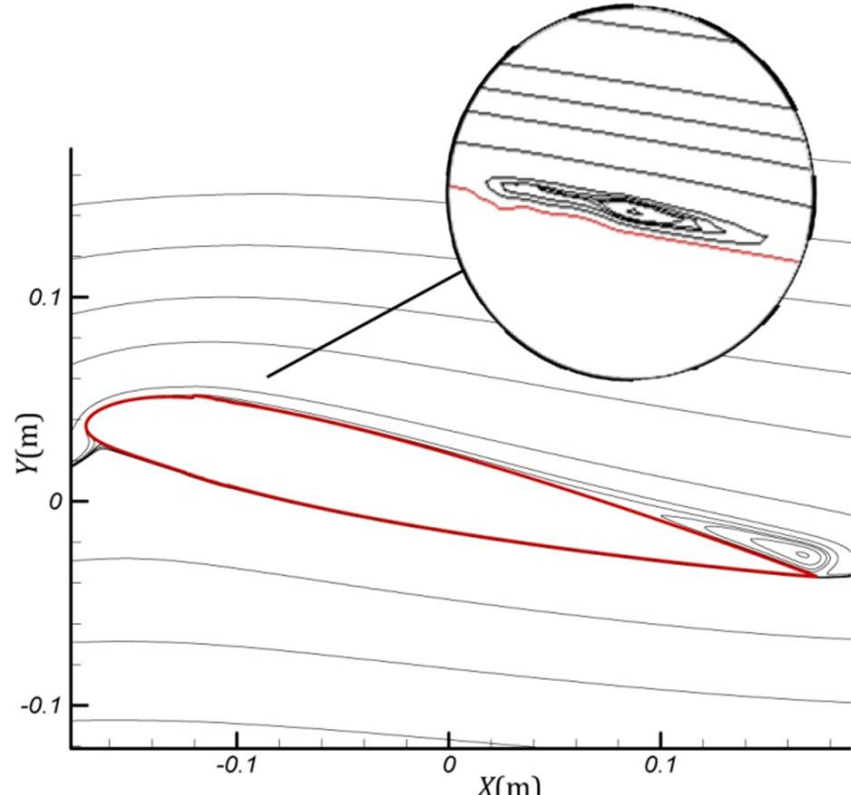
شکل 16 ضریب فشار بر حسب x/c در زاویه حمله 12 درجه برای ایرفویل بخ زده بازگشتی NACA23012

6- جمع‌بندی رفتار ضرایب آیرودینامیکی

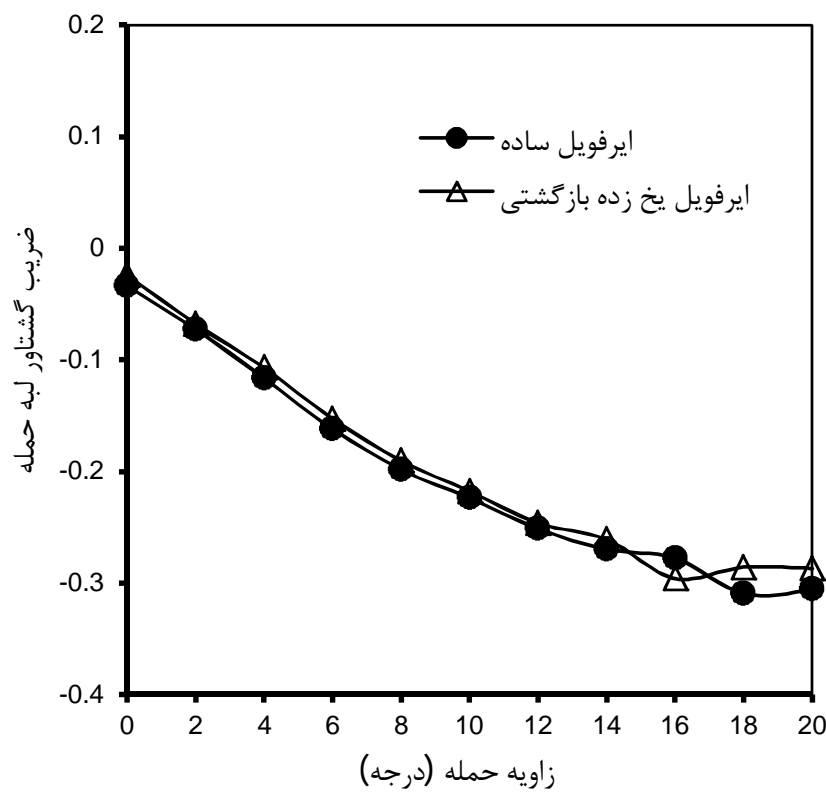
همانگونه که در شکل 19 دیده می‌شود، در زاویه حمله 16 درجه، جریان جداسده از روی توده بخ، بازیابی نشده و دیگر به سطح ایرفویل نمی‌چسبد که این موضوع می‌تواند نشان‌دهنده قرار گرفتن ایرفویل بخ زده بازگشتی در شرایط واماندگی باشد. در حقیقت در این زاویه جریان جدا شده از لبه فرار به حباب جدایش جریان در پشت بخ ملحق شده و حباب جدایشی بزرگی تشکیل می‌شود که بخش بزرگی از سطح بالایی ایرفویل را می‌پوشاند.

شکل 20 تغییرات ضریب برآ بر حسب زاویه حمله را برای ایرفویل بخ زده و بدون بخ نشان می‌دهد. مطابق این شکل، زاویه واماندگی در ایرفویل‌های بدون بخ و بخ زده بازگشتی به ترتیب تقریباً برابر 16، 14، 12 درجه است. بخ بازگشتی در مقایسه با ایرفویل بدون بخ، با کاهش 2 درجه‌ای زاویه واماندگی، باعث کاهش 8 درصدی ضریب برآ برای بیشینه می‌شود.

در شکل 21 تغییرات ضریب پسا بر حسب زاویه حمله رسم شده است. بعلاوه، تغییرات نسبت آیرودینامیکی برآ به پسا، بر حسب زاویه حمله، در شکل 22 آورده شده است. همانگونه که در شکل 21 مشهود است، با قرار گرفتن ایرفویل در شرایط واماندگی، رفتار ضرایب پسا برای ایرفویل، تحت تأثیر قرار گرفته و مقدار آن نیز به صورت محسوس افزایش یافته است. در زاویه حمله صفر درجه، مقدار ضریب پسا (پسای فشاری) برای ایرفویل بدون بخ، تقریباً ناچیز است.



شکل 17 میدان جریان حول ایرفویل بخ زده در زاویه حمله 12 درجه



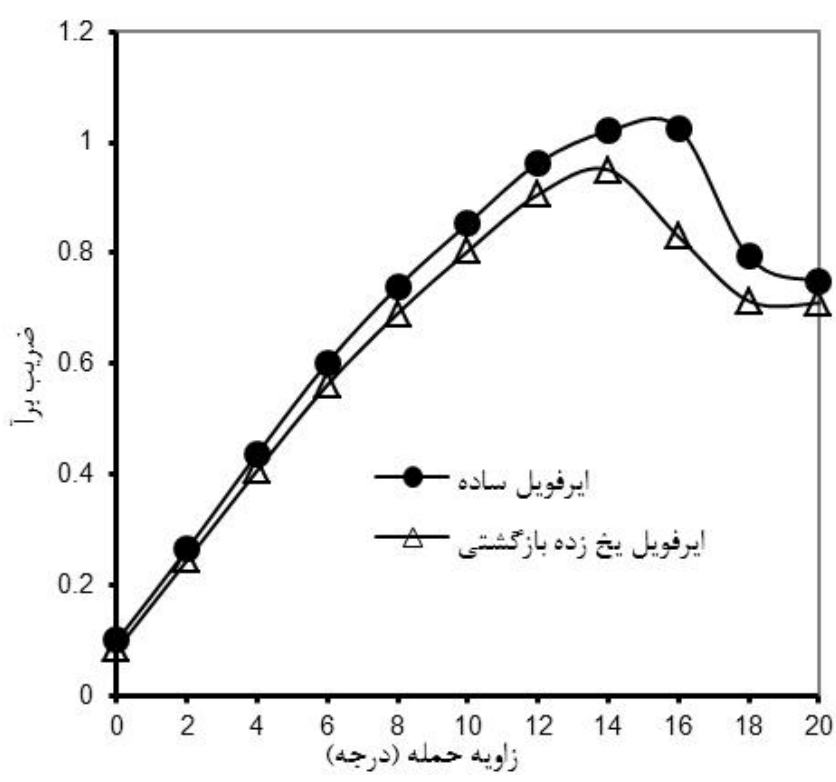
شکل 23 تغییرات ضریب گشتاور پیچشی حول لبه حمله بر حسب زاویه حمله برای NACA23012 ایرفویل

ضریب پسای ایرفویل یخزده بازگشتی در زاویه حمله 16 درجه، به دلیل قرار گرفتن در شرایط واماندگی، حدوداً دو برابر ایرفویل بدون یخ است. از سوی دیگر، همانگونه که در شکل‌های 21 و 22 مشاهده می‌شود، ضریب پسای ایرفویل یخزده در زاویه حمله 16 درجه، به دلیل قرار گرفتن در شرایط واماندگی، حدوداً دو برابر ایرفویل بدون یخ شده و همزمان نسبت آیرودینامیکی برآ به پسا، حدود 60 درصد کاهش یافته است. قابل ذکر است که مطابق معادله برگوت¹، نزول این پارامتر مهم آیرودینامیکی، علاوه بر کاهش اینمی پرواز به دلیل نزدیک شدن به شرایط واماندگی، نتایج مهمی دیگری از جمله افزایش توان مورد نیاز موتور هواپیما، و همچنین افزایش مصرف سوخت، را در پی دارد.

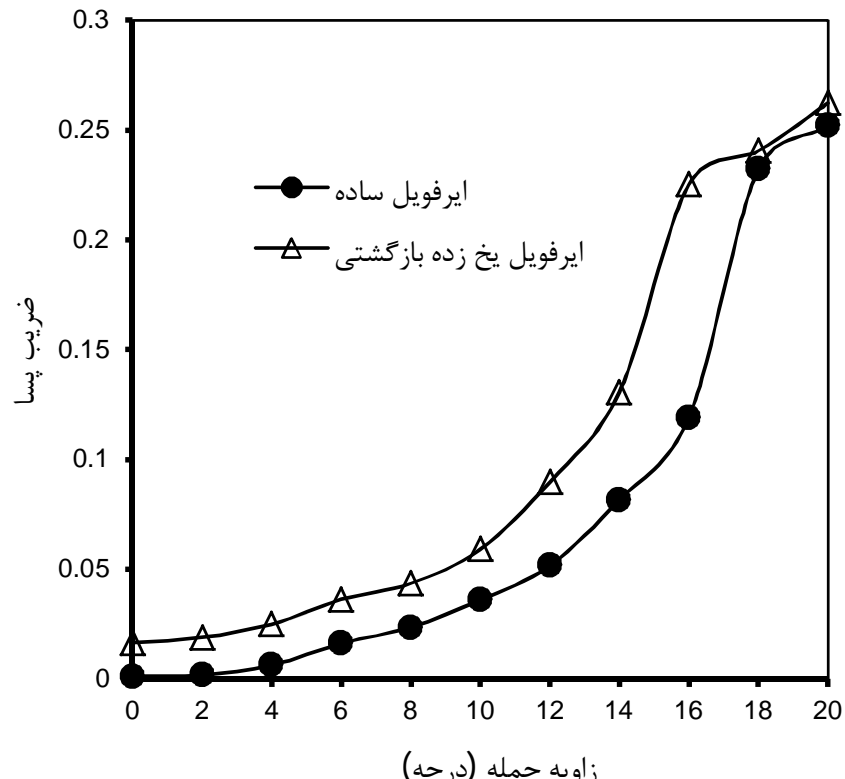
از طرف دیگر، در زوایای حمله بالای 18 درجه، به دلیل یکسان شدن الگوی جریان اطراف ایرفویل‌ها، که ناشی از جدایش جریان در لبه حمله می‌باشد، اثرات یخزدگی بر روی ضریب پسا ناچیز می‌شود و ضرایب پسای ایرفویل یخزده و بدون یخ، تقریباً برابر و یکسان می‌شوند.

شکل 23 تغییرات ضریب گشتاور پیچشی حول لبه حمله را بر حسب زاویه حمله، برای دو حالت ایرفویل یخزده و بدون یخ نشان می‌دهد. مطابق این شکل، اثرات ناشی از یخزدگی ایرفویل بر روی ضریب گشتاور، بر خلاف رفتار ضرایب برآ و پسا، نسبتاً ناچیز است و به طور کلی با افزایش زاویه حمله، ضریب گشتاور برای هر دو ایرفویل یخزده و بدون یخ، تقریباً کاهش می‌یابد. اندکی نوسان و اختلاف کوچک ایجاد شده بین ضرایب گشتاور ایرفویل یخزده، در زوایای حمله بالا (بزرگتر از 16 درجه)، احتمالاً ناشی از رفتار پیچیده جریان حول ایرفویل یخزده در زوایای حمله نزدیک به واماندگی و بعد از واماندگی می‌باشد.

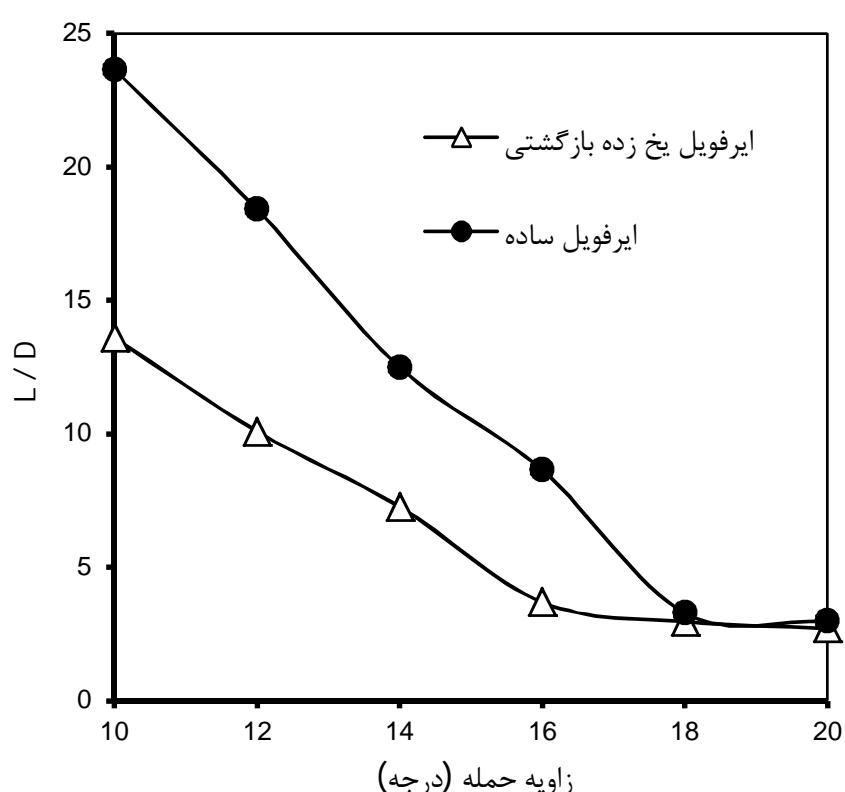
در پایان با مطالعه رفتار الگوی جریان و ضرایب آیرودینامیکی برای ایرفویل یخزده، و مقایسه نتایج آن‌ها با ایرفویل بدون یخ، می‌توان نتیجه‌گیری کرد که بطور کلی پدیده یخزدگی به دو صورت بر روی عملکرد آیرودینامیکی ایرفویل تأثیر می‌گذارد. در حالت اول که در زوایای حمله پایین (کوچک) تا قبل از شروع حالت واماندگی ایرفویل اتفاق می‌افتد، تأثیر یخزدگی موضعی است. در این حالت، تشکیل یخ بر روی ایرفویل، باعث شکل‌گیری یک حباب



شکل 20 تغییرات ضرایب برآ بر حسب زاویه حمله برای ایرفویل NACA23012



شکل 21 تغییرات ضریب پسا بر حسب زاویه حمله برای ایرفویل NACA23012



شکل 22 تغییرات نسبت آیرودینامیکی برآ به پسا بر حسب زاویه حمله برای ایرفویل NACA23012

ضریب فشار	C_p
نیروی پسا (N)	D
نیروی برا (N)	L
گشتاور پیچشی حول لبه حمله	M
فشار استاتیک میانگین (Nm^{-2})	P
فشار استاتیک جریان آزاد (Nm^{-2})	P_∞
عدد رایلی (μm)	Ra
عدد رینولدز	Re
سرعت جریان آزاد (ms^{-1})	V_∞
راستای محور کارتزین	x,y
علایم یونانی	
زاویه حمله (deg)	a
چگالی (kgm^{-3})	ρ

9- مراجع

- [1] K. Venkataramani, L. McVey, R. Holm, K. Montgomery, Inclement Weather Considerations for Aircraft Engines, *AIAA Paper*, No. 2007-0695, 2007.
- [2] J. Mason, W. Strapp, P. Chow, *The Ice Particle Threat to Engines in Flight*, 44th AIAA Aerospace Sciences Meeting, Reno, Nevada, pp. 9-12. 2006.
- [3] M. B. Bragg, I. Paraschivoiu, F. Saeed, *Aircraft Icing*, Wiley Interscience Publication, New York, 2002.
- [4] M. G. Potapczuk, J. J. Reinmann, *Icing Simulation: A Survey of Computer and Experimental Facilities*, NASA Lewis Research Center, AGARD CP-496, 1991.
- [5] A. P. Broeren, E. A. Whalen, G. T. Busch, M. B. Bragg, Aerodynamic Simulation of Runback Ice Accretion, *Journal of Aircraft*, Vol. 47, No. 3, pp. 924-939, 2010.
- [6] W. B. Roberts, Calculation of Laminar Separation Bubbles and Their Effect on Airfoil Performance, *AIAA Journal*, Vol. 18, No. 1, pp. 25-31, 1980.
- [7] M. B. Bragg, A. Khodadoust, S. A. Spring, Measurements in a Leading-Edge Separation due to Simulated Airfoil Ice Accretion, *AIAA Journal*, Vol. 30, No. 6, pp. 1462-1467, June 1992.
- [8] S. Lee, M. B. Bragg, Experimental Investigation of Simulated Large Droplet Ice Shapes on Airfoil Aerodynamics, *Journal of Aircraft*, Vol. 36 No. 5, pp. 844-850, 1999.
- [9] M. Mirzaei, M. A. Ardekani, M. Doosttalab, Numerical and experimental study of flow field characteristics of an iced airfoil, *Aerospace Science and Technology*, Vol. 13, No. 6, pp. 267-276, 2009.
- [10] A. Doostmahmoudi, M. Mirzaei, M. Nazemian alei, Experimental study on flow pattern and aerodynamic coefficients of NLF-0414 iced airfoil, *18th international Conference on Mechanical Engineering*, Tehran, Iran, 2010. (In Persian)
- [11] N. Alègre, D. Hammond., Experimental Setup for the Study of Runback Ice at Full Scale, *Journal of Aircraft*, Vol. 48, No. 6, pp. 1978-1983, 2011.
- [12] K. Parmar, *The Aerodynamic Effects of Runback Ice*, PhD Thesis, University of Cranfield, Cranfield, 2013.
- [13] G. Pouryoussefi, M. Mirzaei, M. Fouladi, A. Doostmahmoudi, Experimental investigation of icing effects on aerodynamic parameters of NACA 23012 airfoil, *Journal of Aeronautical Engineering*, accepted paper, 2014. (In Persian)
- [14] D. Mangini, C. Antonini, M. Marengo, Runback ice formation mechanism on hydrophilic and superhydrophobic surfaces, *Cold Regions Science and Technology*, Vol. 109, pp. 53-60, 2015.
- [15] A. P. Broeren, H. E. Jr. Addy, M. B. Bragg, G. T. Busch, D. Guffond, E. Montreuil, Aerodynamic Simulation of Ice Accretion on Airfoils, *NASA/TP-2011-216929*, June 2011.

جدایش جریان پشت توده بخ در سطح بالای ایرفویل می‌گردد. همچنین، در حالت اول، ضریب پسا (پسای شکل) ایرفویل افزایش می‌یابد در حالی که ضرایب برا و گشتاور، تقریباً تغییر خاصی ندارند. باید توجه داشت که با افزایش زاویه حمله در این حالت، طول حباب جدایش و متعاقباً اثرات بخ-زدگی بر روی ایرفویل، افزایش می‌یابد. اما تأثیر اصلی پدیده بخ-زدگی، به حالت دوم مربوط می‌شود که در زوایای حمله نزدیک به واماندگی و بعد از آن (پست استال) اتفاق می‌افتد. در این حالت، الگوی جریان اطراف ایرفویل و همچنین ضرایب آیرودینامیکی بصورت اساسی و قابل توجه تغییر می‌کند و عملکرد آیرودینامیکی ایرفویل بخ-زده، به صورت محسوس کاهش می‌یابد که این شرایط می‌تواند برای امنیت پرواز مضر و خطرناک باشد. با پدیده‌شناسی فیزیک جریان حول ایرفویل بخ-زده، می‌توان گفت که در حقیقت، تأثیر اساسی بخ-زدگی (حالت دوم) زمانی اتفاق می‌افتد که به دلیل افزایش گرادیان معکوس فشار در زوایای حمله بالا، دیگر پدیده بازیابی جریان در سطح بالای ایرفویل اتفاق نمی‌افتد و دیگر جریان جداشده از نوک توده بخ، به سطح ایرفویل مجدداً نمی‌چسبد. قابل ذکر است که شروع این پدیده (حالت دوم)، که از زاویه حمله واماندگی ایرفویل بخ-زده آغاز می‌شود، عموماً همزمان است با انتقال ناگهانی (جهش) نقطه جدایش جریان از حوالی لبه فرار ایرفویل به نوک توده بخ. در واقع، جدایش لبه فرار ایرفویل با حباب جدایش بخ-زدگی، یکباره به هم وصل و با هم ادغام می‌شوند. با قرار گرفتن ایرفویل بخ-زده در این شرایط (حالت دوم)، ضریب پسا ناگهان به شدت افزایش می‌یابد اما ضریب گشتاور، تنها اندکی نوسان کوچک می‌کند. بعلاوه، کاهش زاویه واماندگی و همچنین ضریب برا بیشینه، از دیگر اثرات بخ-زدگی ایرفویل، در این حالت است.

7- نتیجه‌گیری

در تحقیق کنونی، اثرات تشکیل بخ بر روی ایرفویل NACA23012 در عدد رینولدز $Re = 0.6 \times 10^5$ برای بخ بازگشتی بصورت آزمایشگاهی و عددی در زوایای حمله مختلف، مورد مطالعه و مقایسه قرار گرفت. بطور کلی، پدیده بخ-زدگی بر روی الگوی جریان اطراف ایرفویل و همچنین رفتار ضرایب آیرودینامیکی تأثیر می‌گذارد و اساساً باعث شکل‌گیری حباب جدایش در پایین دست لبه حمله، در سطح بالای ایرفویل می‌گردد. تشکیل بخ بازگشتی باعث می‌شود که زاویه واماندگی 2 درجه و ضریب برآی بیشینه حدود 8 درصد، نسبت به ایرفویل بدون بخ، کاهش یابد. در این شرایط، زاویه واماندگی ایرفویل از 16 درجه برای حالت بدون بخ، به 14 درجه برای ایرفویل بخ-زده، کاهش می‌یابد. بعلاوه، ضریب پسا ایرفویل بخ-زده بازگشتی در زاویه حمله 16 درجه، به دلیل قرار گرفتن در شرایط واماندگی، حدوداً دو برابر ایرفویل بدون بخ می‌شود و همزمان نسبت آیرودینامیکی برآ به پسا، حدود 60 درصد کاهش می‌یابد. همچنین، در زوایای حمله بالای 18 درجه، به دلیل یکسان شدن الگوی جریان اطراف ایرفویل‌ها، که ناشی از جداشدن جریان در لبه حمله می‌باشد، اثرات بخ-زدگی بر روی ضریب پسا ناچیز می‌شود و ضرایب پسا ایرفویل‌های بخ-زده و بدون بخ، تقریباً برابر و یکسان می‌شوند.

8- فهرست علائم

طول وتر ایرفویل (m)	C
ضریب پسا	C_D
ضریب برا	C_L
ضریب گشتاور پیچشی حول لبه حمله	$C_{M,LE}$